

## ТОЧНЫЕ РЕШЕНИЯ НЕКОТОРЫХ ЗАДАЧ ДЛЯ КВАЗИЛИНЕЙНОГО УРАВНЕНИЯ ПАРАБОЛИЧЕСКОГО ТИПА

В. А. ДОРОДНИЦЫН, Г. Г. ЕЛЕНИН, С. П. КУРДЮМОВ

*Институт Прикладной Математики АН СССР, Москва, СССР*

### Введение

1. Успех исследования различных задач для нелинейных уравнений с помощью вычислительного эксперимента невозможен без применения традиционных методов математической физики. Средства этой дисциплины позволяют корректно ставить новые задачи, давать информацию о качественной стороне исследуемой задачи. Одним из таких средств является построение точных частных решений. Достаточно широкий класс частных, так называемых инвариантных решений может быть получен с помощью техники группового анализа [1]. Инвариантные решения во многих случаях передают основные особенности задачи, отдельные стадии процессов, и могут быть проанализированы сравнительно простыми средствами. С другой стороны, точные решения незаменимы как тесты при построении и отладке численных методик.

Настоящая работа посвящена получению и анализу частных точных решений для достаточно широкого класса квазилинейных уравнений параболического типа и является составной частью цикла работ по исследованию сверхбыстрых процессов в нелинейных средах [2–4], проводимого в ИПМ АН СССР под руководством А. А. Самарского. Интерес к подобным процессам, часто называемым „режимами с обострением”, связан с рядом их необычных свойств, как, например, явление локализации областей нагрева в нелинейных средах.

2. Здесь мы рассмотрим частные точные решения уравнения

$$(1) \quad \frac{\partial T}{\partial t} = \frac{\partial}{\partial x} \left[ K(T) \frac{\partial T}{\partial x} \right] + Q(T), \quad K(T) \geqslant 0.$$

Этим уравнением описывается, в частности, эволюция температурного поля в нелинейной среде при наличии источников тепла знакоперем-

менного типа. Для уравнения (1) будут построены решения задач Коши, приводящих к сверхбыстрым процессам развития тепловых возмущений. В работе [8] с помощью методики [1] была проведена групповая классификация уравнения (1). Были получены все те частные виды функций  $\{K(T), Q(T)\}$ , которые приводят к расширению группы преобразований, допускаемых уравнением (1):

$$\{T^\sigma, \pm T^n\}, n \neq 0; 1; (\sigma+1).$$

$$\{1, \pm T \ln T\}.$$

$$\{T^\sigma, (\pm T^{\sigma+1} + \delta T)\}, |\delta| = 1.$$

$$\{T^{-4/3}, \pm T^n\}, n \neq 0; 1; -1/3.$$

$$\{T^\sigma, \pm T^{\sigma+1}\}.$$

$$\{T^{-4/3}, \pm 1\}.$$

$$\{T^\sigma, \pm 1\}.$$

$$\{T^\sigma, \pm T\}.$$

$$\{1, \pm T^n\}, n \neq 0; 1.$$

$$\{e^T, (\pm e^T + \delta)\}, |\delta| = 1.$$

$$\{1, \pm e^{\beta T}\}, \beta \neq 0.$$

$$\{e^T, \pm e^{\beta T}\}, \beta \neq 0.$$

$$\{e^T, \pm 1\}.$$

$$\{T^{-4/3}, (\pm T^{-1/3} + \delta T)\}, |\delta| = 1.$$

$$\{T^{-3/4}, \pm T^{-1/3}\}.$$

$$\{T^{-4/3}, \pm T\}.$$

$$\{1, \pm 1\}.$$

$$\{1, \pm T\}.$$

Для каждого из перечисленных выше сочетаний коэффициентов  $\{K(T), Q(T)\}$  был получен в определенном смысле [1] исчерпывающий перечень инвариантных решений — набор решений, из которых преобразованиями соответствующей группы может быть сконструировано любое инвариантное решение этого уравнения. Первый из перечисленных случаев ( $K = T^\sigma, Q = \pm T^n$ ) в рамках задачи Коши подробно изучен в работах [3], [4], [6].

Ниже будут рассмотрены задачи Коши для уравнения (1), в котором  $\{K(T), Q(T)\}$  отвечают второму и третьему случаю. Будут изу-

чаться лишь те решения, в которых температурное возмущение ограничено по пространству,  $T(x, t) \rightarrow 0$  при  $x \rightarrow \pm\infty$ .

3. Нагрев среды благодаря наличию нелинейного источника тепла может происходить в различных режимах. В некоторых случаях амплитуда температурного распределения неограниченно растет, — если это происходит за конечное время, то такие решения называют режимами с обострением; в других случаях с течением времени происходит выход на стационарное значение амплитуды. Режимы с обострением могут сопровождаться локализацией температурного возмущения на так называемой фундаментальной длине [3].

### 1. Уравнение линейной теплопроводности со знакопеременным источником

Одно из инвариантных решений в случае линейной теплопроводности и „слабонелинейного“ источника

$$(1.1) \quad T_t = T_{xx} + \delta T \ln T$$

имеет вид [8]:

$$(1.2) \quad T(x, t) = e^{-\frac{\delta x^2}{4(1+\varepsilon e^{-\delta t})}} e^{e^{\delta t} \ln \left\{ T_0 \left( \frac{1+\varepsilon e^{-\delta t}}{1+\varepsilon} \right)^{1/2s} \right\}}$$

и является решением задачи Коши для двухпараметрического семейства

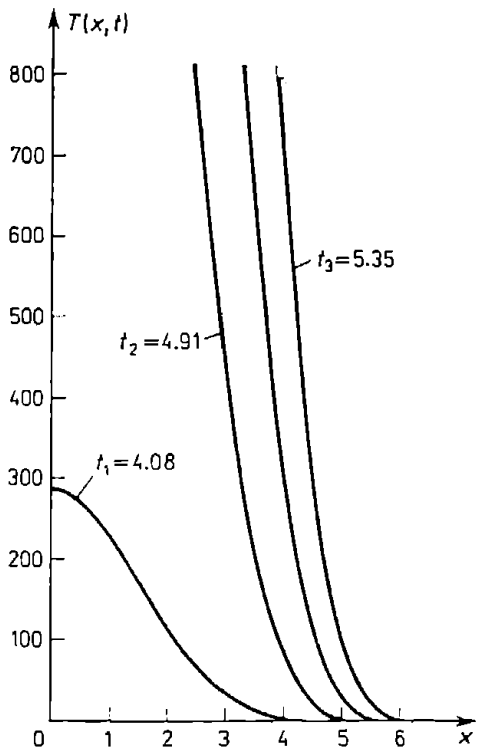


Рис. 1

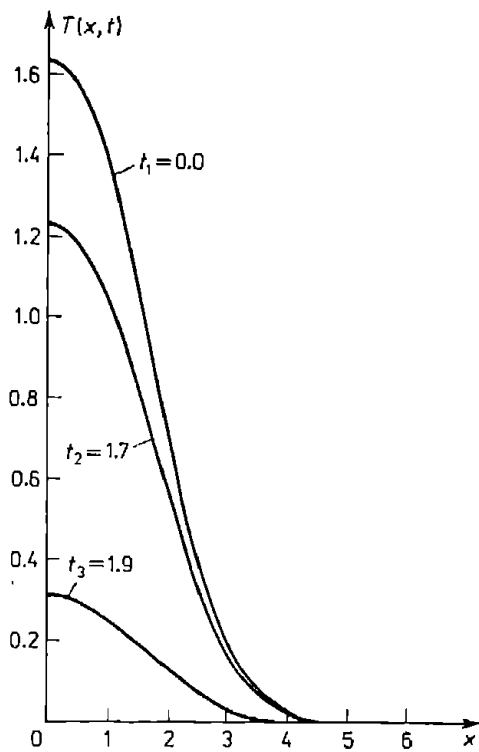


Рис. 2

ства начальных данных

$$(1.3) \quad T(x, 0) = T_0 e^{-\frac{\delta x^2}{4(1+\varepsilon)}}$$

где  $T_0, \varepsilon$  — параметры, причем  $T_0 \geq 0; \varepsilon < -1$  при  $\delta < 0, -1 < \varepsilon < +\infty$  при  $\delta > 0$ .

1. Решение (1.2) при  $\varepsilon = 0$  переходит в

$$(1.4) \quad T(x, t) = \sqrt{e} e^{-\delta x^2/4} e^{e^{\delta t} \left( \ln T_0 - \frac{1}{2} \right)}, \quad T_0 > 0, \delta > 0.$$

Полуширина температурного распределения (1.4) не зависит от времени и равна  $2\sqrt{\ln 2/\delta}$ .

При  $T_0 < \sqrt{e}$  в каждой фиксированной точке  $x$  температура  $T(x, t)$  монотонно убывает до нуля ( $\lim_{t \rightarrow +\infty} T(x, t) = 0$ ), при  $T_0 = \sqrt{e}$  решение (1.4) стационарно, при  $T_0 > \sqrt{e}$  температура монотонно и неограниченно возрастает в каждой фиксированной точке  $x$  при  $t \rightarrow +\infty$ .

На рис. 1, 2 приведена численная реализация решения с постоянной полушириной.

2. Рассмотрим решение (1.2) при  $\varepsilon > 0, \delta > 0$ . В этом случае полуширина начального распределения (1.3) больше полуширины решения (1.4). Полуширина решения (1.2) является монотонно убывающей функцией и при  $t \rightarrow +\infty$  стремится к полуширине распределения (1.4) (см. (1.4)). Относительно амплитуды решения имеются три возможности.

Если  $T_0 < T_2(\varepsilon) = e^{1/(2+2\varepsilon)}$ , то амплитуда монотонно убывает и  $\lim_{t \rightarrow +\infty} T_{\max}(t) = 0$ .

Если  $T_0 > T_1(\varepsilon) = (1+\varepsilon)^{1/2\varepsilon}$ , то амплитуда монотонно и неограниченно возрастает при  $t \rightarrow +\infty$ .

Если  $T_2(\varepsilon) < T_0 < T_1(\varepsilon)$ , то амплитуда является немонотонной функцией времени: возрастающая вначале (но не достигая величины  $\sqrt{e}$  — амплитуды стационарного решения), убывает к нулю при  $t \rightarrow +\infty$ .

Решение (1.2) при  $\varepsilon > 0, \delta > 0$  является решением с монотонно убывающей полушириной.

На рис. 3, 4, 5 представлена численная реализация решения с монотонно убывающей полушириной.

3. Решения с монотонно растущей полушириной определяются формулой (1.2) либо при  $\delta > 0, -1 < \varepsilon < 0$ , либо при  $\delta < 0, \varepsilon < -1$ .

В первом случае полуширина решения (1.2) является монотонно растущей функцией. В начальный момент времени  $t = 0$  она меньше полуширины (1.4), а при  $t \rightarrow +\infty$  стремится к значению  $2\sqrt{\ln 2/\delta}$ .

Если  $T_0 < T_1(\varepsilon)$ , то амплитуда монотонно убывает до нуля.

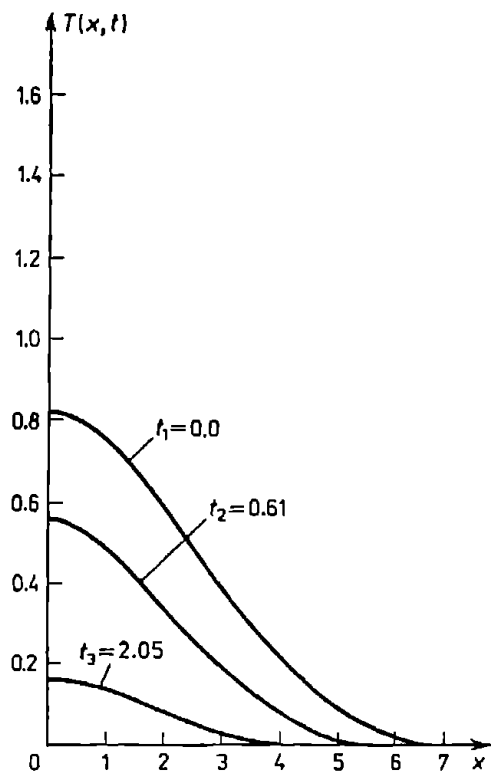


Рис. 3

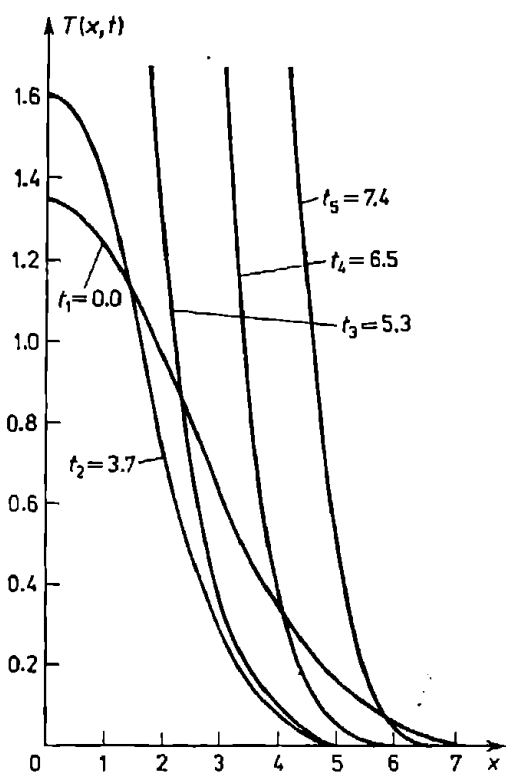


Рис. 4

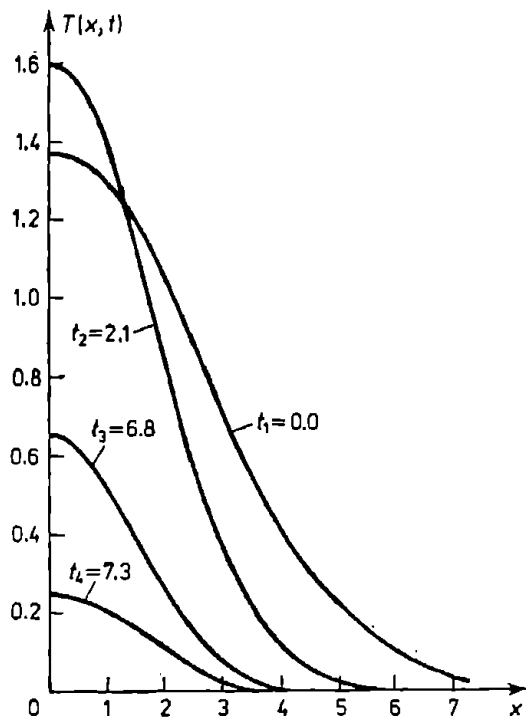


Рис. 5

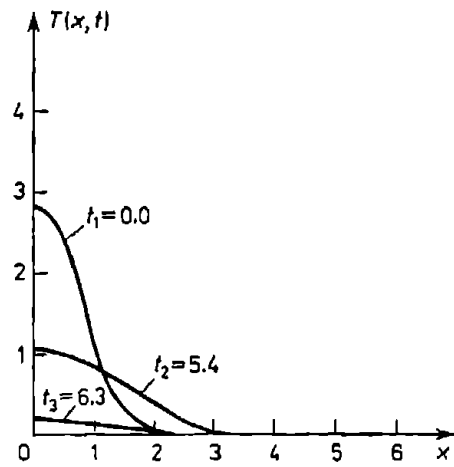


Рис. 6

Если  $T_0 > T_2(\varepsilon)$ , то амплитуда монотонно и неограниченно растет при  $t \rightarrow +\infty$ .

Если  $T_1(\varepsilon) < T_0 < T_2(\varepsilon)$ , то амплитуда является немонотонной функцией; убывая вначале, она достигает некоторого минимального значения в конечный момент времени, затем неограниченно растет монотонным образом при  $t \rightarrow +\infty$ .

Численная реализация решения с  $\delta > 0$ ,  $-1 < \varepsilon < 0$  представлена на рис. 6, 7, 8.

Во втором случае ( $\delta < 0$ ,  $\varepsilon < -1$ ) полуширина решения (1.2) монотонно и неограниченно растет при  $t \rightarrow +\infty$ .

Если  $T_0 < T_2(\varepsilon)$ , то амплитуда монотонно возрастает до значения  $T(0, \infty) = 1$ .

Если  $T_0 > T_2(\varepsilon)$ , то амплитуда вначале монотонно убывает, а затем монотонно вырастая стремится к значению  $T(0, \infty) = 1$  при  $t \rightarrow +\infty$ .

Такое решение (см. рис. 9, 10) аналогично решению бегущей волны, рассмотренной в работе [9].

Поведение температурного распределения (1.2) по пространству и во времени определяется парой параметров  $(\varepsilon, T_0)$ . На рис. 11 изображена плоскость параметров начальных данных  $(\varepsilon, T_0)$ , которая разделяется кривыми  $T_1(\varepsilon)$  и  $T_2(\varepsilon)$  на зоны, соответствующие описанным выше режимам.

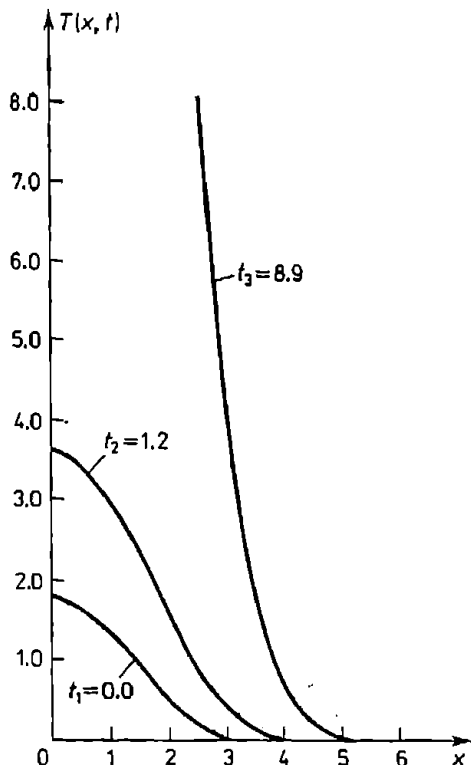


Рис. 7

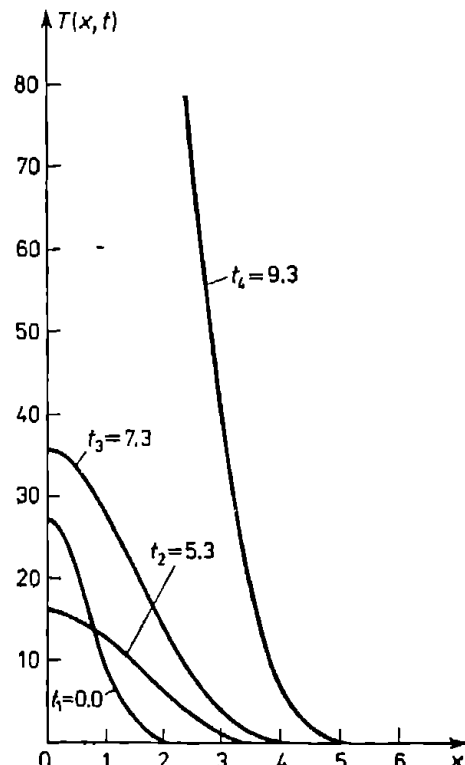


Рис. 8

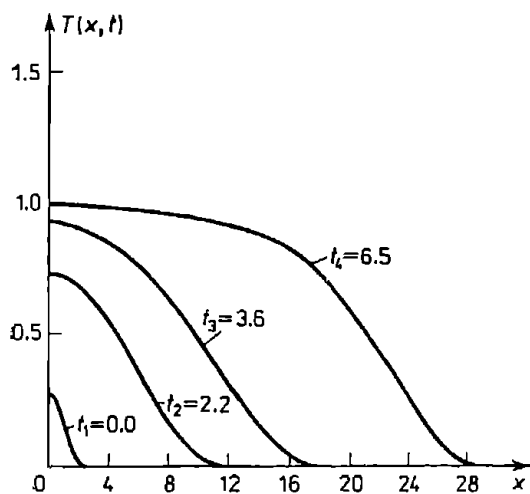


Рис. 9

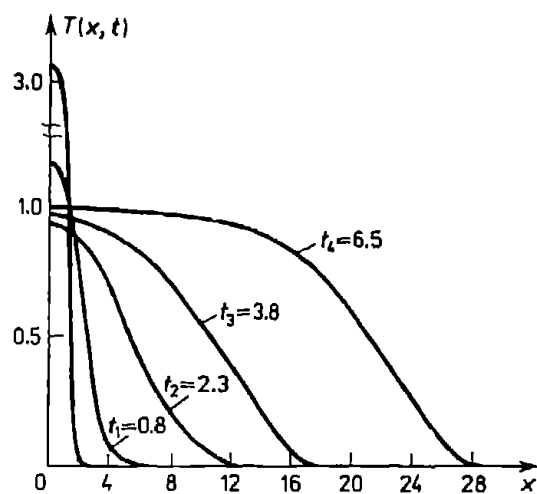


Рис. 10

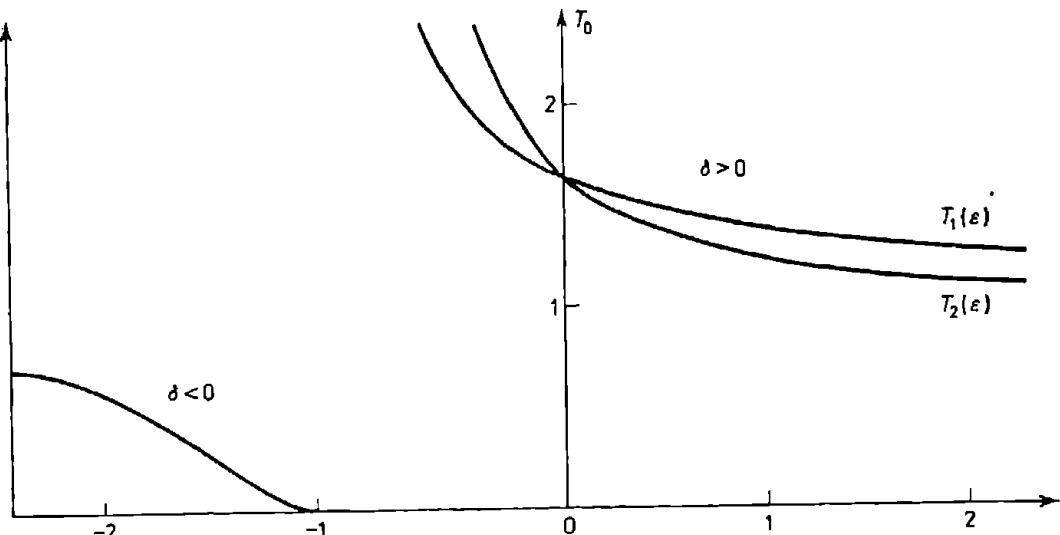


Рис. 11

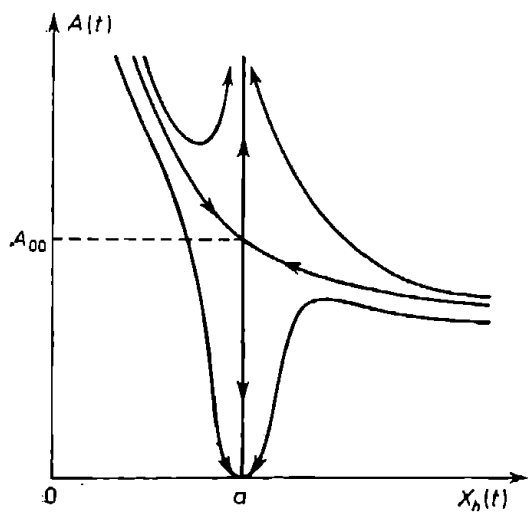


Рис. 12

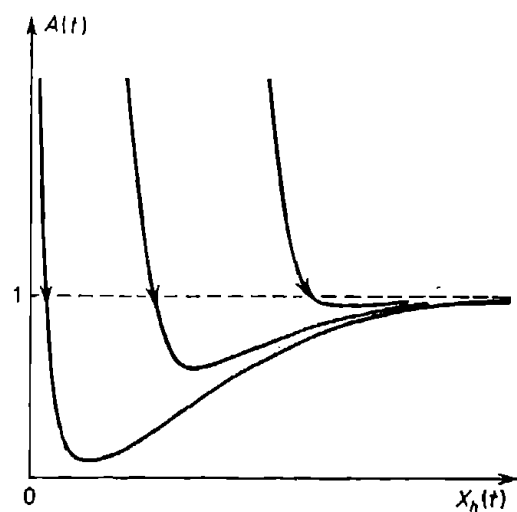


Рис. 13

4. Чтобы наглядно представить поведение решения (1.2) во времени, перейдем к переменным амплитуды и полуширины температурного возмущения:

$$(1.5) \quad A(t) = T(0, t) = e^{e^{\delta t} \ln \left[ T_0 \left( \frac{1+e^{-\delta t}}{1+\epsilon} \right)^{1/2\epsilon} \right]},$$

$$X_h(t) = 2 \sqrt{\frac{\ln 2}{|\delta|}} \cdot \sqrt{\text{sign}(\delta)(1 + \epsilon e^{-\delta t})}.$$

Связь амплитуды и полуширины дается уравнением

$$(1.6) \quad \frac{dA}{dX_h} = \frac{A a^2 \text{sign}(\delta) (1 - 2 \text{sign}(\delta) X_h^2 a^{-2} \ln A)}{X_h (X_h^2 - a^2 \text{sign}(\delta))},$$

где  $a = 2 \sqrt{\ln 2 / |\delta|}$  — полуширина стационарного решения (1.3). Интеграл уравнения (1.6) имеет вид

$$(1.7) \quad A^{(X_h^2 - a^2 \text{sign}(\delta))} X_h^{-a^2 \text{sign}(\delta)} = A^{(x_{h_0}^2 - a^2 \text{sign}(\delta))} X_{h_0}^{-a^2 \text{sign}(\delta)},$$

где  $X_{h_0} = X_h(0)$ ,  $A_0 = A(0) = T_0(0)$ .

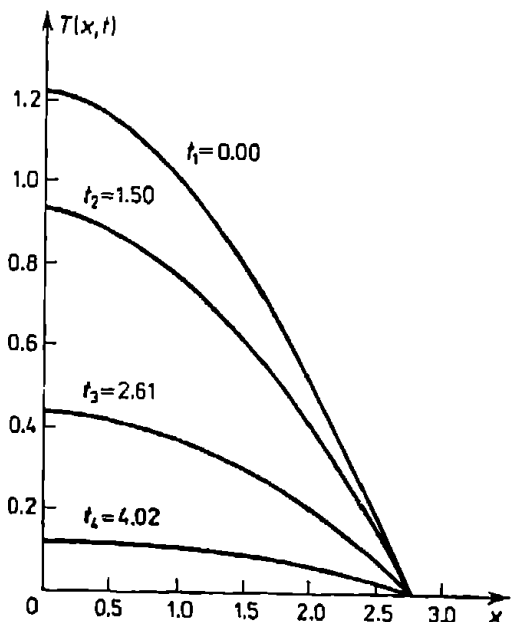
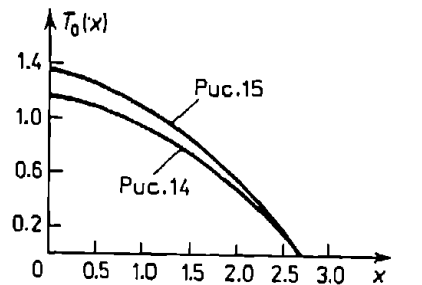


Рис. 14

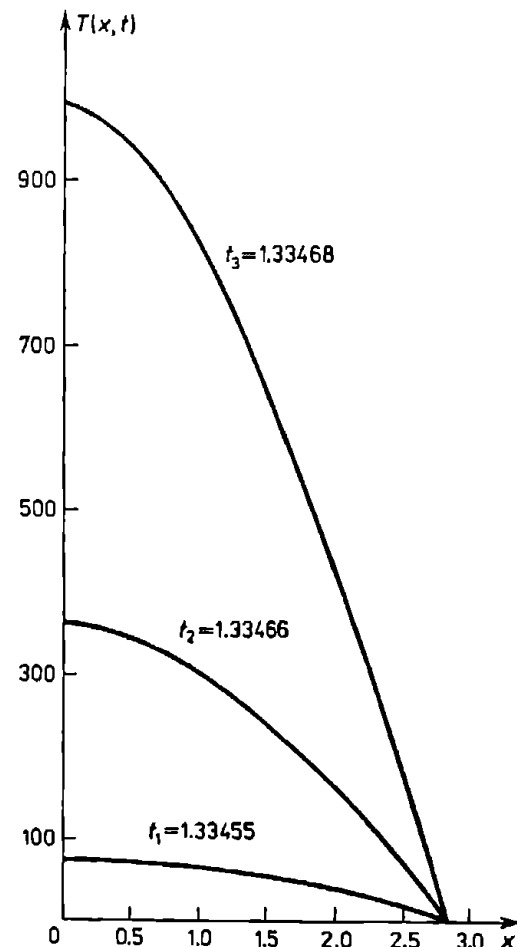


Рис. 15

В плоскости  $(X_h, A)$  уравнение (1.6) имеет нулевую изоклину:

$$A = e^{\frac{2 \ln 2 \operatorname{sign}(\delta)}{|\delta| X_h^2}}$$

и бесконечную изоклину ( $dX_h/dA = 0$ ):

$$X_h^2 = 4 \ln 2 \frac{\operatorname{sign}(\delta)}{|\delta|},$$

существующую лишь при  $\delta > 0$ .

Особой точкой уравнения (1.6) при конечных  $A \neq 0$  и  $X_h > 0$  при  $\delta > 0$  является точка с координатами

$$X_h = a, \quad A = A_{00} = \sqrt{e}.$$

Особая точка является седлом с сепаратрисами (см. рис. 12):

$$X_h = a \quad \text{и} \quad A = \left( \frac{X_h}{a} \right)^{\left( \left( \frac{X_h}{a} \right)^2 - 1 \right)^{-1}}.$$

В случае  $\delta < 0$  точка  $(0, 0)$  является седловой, с сепаратрисами  $X_h \equiv 0$  и  $A \equiv 0$  (см. рис. 13).

Ход интегральных кривых уравнения (1.6) представлен на рис. 14, 15.

Заметим, что все перечисленные в этом параграфе результаты легко переносятся на случай, когда объемный источник тепла имеет линейную „добавку”  $Q = aT \ln T + \beta T$ , с помощью преобразования  $T \rightarrow \gamma T$ ,  $\gamma = \text{const}$ .

## 2. Уравнения нелинейной теплопроводности со знакопеременным источником

Рассмотрим уравнение теплопроводности в случае, когда источник и коэффициент теплопроводности имеют степенную зависимость от температуры:

$$(2.1) \quad T_t = (T^\sigma T_x)_x + aT^{\sigma+1} + \delta T, \quad \sigma > 0.$$

Одно из инвариантных решений (см. [8]) в этом случае имеет вид:

$$(2.2) \quad T(x, t) = \tilde{T}(x) \frac{1}{(\lambda + (1 - \lambda)e^{-\sigma \delta t})^{1/\sigma}}.$$

Представление (2.2) дает решение задачи Коши при выполнении следующих условий:  $a > 0$ ,  $\lambda \delta < 0$ . (Выполнение этих условий обеспечивает обращение теплового потока  $-K(T)T_x$  в нуль при обращении в нуль температуры).

Функция  $\tilde{T}(x)$  является решением уравнения

$$(\tilde{T}^{\sigma}\tilde{T}_x)_x + a\tilde{T}^{\sigma+1} + \lambda\delta\tilde{T} = 0$$

и имеет вид:

$$(2.3) \quad \tilde{T}(x) = \begin{cases} \left( -2\lambda\delta(\sigma+1)\frac{1}{a(\sigma+2)} \right)^{1/\sigma} \cos^{2/\sigma} \left( \frac{\sigma}{2} \sqrt{\frac{a}{\sigma+1}} x \right), & \text{при } |x| \leq L_s, \\ 0 & \text{при } |x| > L_s, \end{cases}$$

где  $L_s = 2\pi/\sigma\sqrt{(\sigma+1)a^{-1}}$  — так называемая фундаментальная длина. Заметим, что  $L_s$  определяется лишь параметрами среды  $\sigma$  и  $a$  и не зависит от  $\delta$ , то есть наличие линейного источника (стока) не влияет на пространственную структуру инвариантного решения.

При  $\delta > 0$  для любого  $T_0 = (-2\lambda\delta(\sigma+1)a^{-1}(\sigma+2)^{-1})^{1/\sigma} > 0$ . Временная характеристика решения (2.2)  $g(t) = (\lambda + (1-\lambda)e^{-\sigma\delta t})^{-1/\sigma} \rightarrow +\infty$  при  $t \rightarrow \tau = -\ln[\lambda(\lambda-1)^{-1}]/\sigma\delta$ .

При  $\delta < 0$  существует такое критическое значение амплитуды начального распределения

$T_* = (2 \cdot |\delta| \cdot (\sigma+1)/a(\sigma+2))^{1/\sigma}$  — (амплитуда стационарного решения),

что

- (а) если  $T_0 > T_*$ , то  $g(t) \rightarrow +\infty$  при  $t \rightarrow \tau$ ,
- (б) если  $T_0 < T_*$ , то  $g(t) \rightarrow 0$  при  $t \rightarrow +\infty$ ,
- (в) если  $T_0 = T_*$ , то  $g(t) \equiv 1$ , где

$$\tau = \frac{\ln [T_0^\sigma (T_0^\sigma - T_*^\sigma)^{-1}]}{\sigma |\delta|}.$$

Рассмотренные решения передают качественные особенности задачи Коши для уравнения теплопроводности со знакопеременным источником нелинейного типа, такие как явление локализации и наличие сверхбыстрых режимов роста тепловых возмущений. Кроме того, благодаря разнообразию режимов, эти решения оказываются удобным тестом для проверки качества численных методов решения параболических уравнений.

### Литература

- [1] Л. В. Овсянников, *Групповой анализ дифференциальных уравнений*, „Наука”, Москва 1978.
- [2] Н. В. Змитренко, С. П. Курдюмов, *N- и S-режимы автомодельного сжатия конечной массы плазмы и особенности режимов с обострением*, ПМТФ, 1 (1977), 3–23.

- [3] А. А. Самарский, Н. В. Змитренко, С. П. Курдюмов, А. П. Михайлов, *Тепловые структуры и фундаментальная длина в среде с нелинейной теплопроводностью и объемными источниками тепла*, ДАН СССР, 227.2 (1976), 321–324.
- [4] А. А. Самарский, Г. Г. Еленин, Н. В. Змитренко, С. П. Курдюмов, А. П. Михайлов, *Горение нелинейной среды в виде сложных структур*, ibid. 237.6 (1977), 1330–1333.
- [5] С. П. Курдюмов, *Собственные функции горения нелинейной среды и конструктивные законы ее организации*, Препринт ИПМ АН СССР № 29, 1979.
- [6] Г. Г. Еленин, С. П. Курдюмов, *Диссилиативные структуры режимов с обогреванием в нелинейной теплопроводной среде*, настоящий сборник, стр. 125–139.
- [7] В. А. Галактионов, С. П. Курдюмов, А. П. Михайлов, А. А. Самарский, *Локализация процессов диффузии в средах с постоянными свойствами*, ДАН СССР, 247 (1979), 349–353.
- [8] В. А. Дородницын, *Групповые свойства и инвариантные решения уравнения нелинейной теплопроводности с источником или стоком*, Препринт ИПМ АН СССР № 57, 1979.
- [9] А. Н. Колмогоров, И. Г. Петровский, Н. С. Пискунов, *Исследование уравнения диффузии, соединенной с возрастанием количества вещества, и его применение к одной биологической проблеме*, Бюлл. МГУ, секция А, 1.6 (1937), стр. 1.

*Presented to the Semester  
Computational Mathematics  
February 20 – May 30, 1980*

---